涡扇发动机故障诊断中粒子滤波改进方法

卢俊杰,黄金泉,鲁 峰 (南京航空航天大学能源与动力学院,南京210016)

摘要:针对标准粒子滤波算法诊断步数多且诊断结果噪声水平高的问题,提出伪协方差和自适应似然分布结合的改进粒子滤 波算法。该算法通过使用伪协方差代替了粒子集协方差,保证采样得到的粒子能够更真实地反映突变情况,减少诊断步数;通过对 似然分布自适应调整,增加其与先验分布的重叠区域,提高抽样率,增加有效粒子数,降低诊断结果噪声水平。发动机健康参数估计 仿真结果表明:与标准粒子滤波算法相比,改进的粒子滤波算法能使诊断速度提高约27%,诊断精度提高约38%,有效地减少了突变 故障的诊断步数,并显著降低了诊断结果的噪声水平。

关键词: 故障诊断;粒子滤波;伪协方差;自适应似然分布;涡扇发动机

中图分类号: V235.13 文献标识码:A doi:10.13477/j.cnki.aeroengine.2020.02.007

Improved Method of Particle Filter in Turbofan Engine Fault Diagnosis

LU Jun-jie, HUANG Jin-quan, LU Feng

(College of Energy and Power Engineering, Nanjing University of Aeronautics and Astronautics, Nanjing 210016, China)

Abstract: An improved particle filter algorithm combining pseudo covariance and adaptive likelihood distribution was proposed for standard particle filter algorithms with multiple steps and high noise level of diagnostic results. By replacing the particle set covariance with pseudo covariance, the algorithm ensured that the sampled particles could reflect the mutation more realistically and reduce the number of diagnostic steps. By adaptive adjustment of the likelihood distribution, the overlapping area with the prior distribution was increased, the sampling rate and the effective particle number were increased, and the noise level of the diagnosis result was reduced. The simulation results of engine health parameter estimation show that compared with the standard particle filter algorithm, the improved particle filter algorithm can improve the diagnostic speed by about 27% and the diagnostic accuracy by about 38%, which effectively reduces the number of diagnosis steps of sudden faults and significantly reduces the noise level of the diagnostic results.

Key words: fault diagnosis; particle filter; pseudo covariance; adaptive likelihood distribution; turbofan engine

0 引言

涡扇发动机结构复杂,工作环境恶劣,属于1种 故障多发系统。据统计,涡扇发动机气路部件故障占 涡扇发动机总体故障的90%以上,因此,实时检测发 动机健康状况并进行气路性能分析是提高发动机安 全可靠性的重要途径[1-3]。发动机气路部件的效率变化 系数、流量变化系数等健康参数是发动机气路故障的 状态特征,会直接导致转速、温度、压力等发动机测量 参数的变化,因此发动机气路部件故障诊断主要采用 特定的算法根据测量参数的变化来估计出健康参数4,

从而分析发动机气路部件的健康状况。发动机故障诊 断方法主要有基于模型(如最小二乘方法四,卡尔曼滤 波方法[6],基于数据(如神经网络[7],支持向量机[8])和 基于知识(如专家系统)的方法。随着发动机部件级模 型的精度以及计算机速度的提高,基于模型的故障诊 断方法在工程实际中得到了广泛的研究和应用。

卡尔曼滤波算法受限于线性高斯系统,一些改进 的卡尔曼算法[9-10]虽然适用于非线性问题,但依然依 赖于高斯噪声的假设凹。而粒子滤波算法适用于含非 高斯噪声的非线性系统,于是有学者提出使用粒子滤

收稿日期:2019-04-09 基金项目:国家自然科学基金(51276087)、江苏省研究生科研创新计划(KYCX170281)、南京航空航天大学博士学位论 文创新与创优基金(BCXJ17-02)资助

作者简介:卢俊杰(1993),男,在读博士研究生,研究方向为航空发动机故障诊断;E-mail:757018750@qq.com。

引用格式:卢俊杰,黄金泉,鲁峰.涡扇发动机故障诊断中粒子滤波改进方法[[]航空发动机,2020,46(2):41-46.LU Junjie, HUANG Jinquan, LU Feng. Improved method of particle filter in turbofan engine fault diagnosis[J]. Aeroengine, 2020,46(2):41-46.

波算法进行气路部件健康参数的估计,并取得较好效果^[12]。标准粒子滤波用于发动机故障诊断主要存在以下2方面问题:(1)标准粒子滤波直接采用先验分布作为重要性密度函数^[13],没有结合最新观测值,导致在突变故障下,需要诊断步数多;(2)发动机健康参数的维度高,滤波器的抽样率低,同时出于实时性考虑,粒子数少,所以有效粒子数少,导致诊断结果噪声水平高,估计精度低。

本文针对粒子滤波应用于突变故障诊断时诊断步数多和诊断结果噪声水平高的问题,通过引入伪协方差与自适应调整似然分布尾部的平坦程度,提出使用伪协方差和自适应似然分布结合的1种改进粒子滤波方法。

1 标准粒子滤波算法

粒子滤波是 1 种基于递推贝叶斯估计和蒙特卡罗积分的统计滤波方法,其主要思想是:首先,由系统状态向量的经验条件分布在状态空间中产生 1 组随机的粒子;其次,根据新的观测值调整粒子的位置和权值;最后,通过调整后的粒子信息修正最初的条件分布[14]。实质即为根据粒子及其权值组成的离散随机测度来近似状态的后验概率分布,且这种近似会随着粒子的数目趋于无穷多时收敛于真实后验概率分布。

考虑如下的非线性系统

$$x_{k+1} = f(x_k, u_k) + \omega_k$$

$$z_k = h(x_k, u_k) + v_k$$
(1)

式中: x_k 、 u_k 、 z_k 分别为 k 时刻的状态量、控制量和观测量; ω_k 、 v_k 分别为 k 时刻的过程噪声和观测噪声; $f(\cdot)$ 、 $h(\cdot)$ 分别为状态转移函数和观测函数。

k 时刻目标状态 x_k 的后验概率分布 $p(x_k|z_1,\cdots z_k)$ 可以用 $\{x_k^i,w_k^i\}_{i=1}^N$ 来描述,其中 $\{x_k^i\}_{i=1}^N$ 是权值分别为 $\{w_k^i\}_{i=1}^N$ 的粒子集,N 为采样粒子数。设归一化权值为 \widetilde{w}_k^i ,即 $\sum_i^N \widetilde{w}_k^i = 1$,则 k 时刻系统状态的后验概率分布 近似离散加权为

$$p(x_k|z_1,\cdots z_k) \approx \sum_{i=1}^{N} \widetilde{w}_k^{i} \delta(x_k - x_k^i)$$
 (2)

式中: $\delta(\cdot)$ 为狄拉克函数; w_k^i 为重要性权值,其递推公式为

$$w_{k}^{i} = w_{k-1}^{i} \frac{p(z_{k}|x_{k}^{i})p(x_{k}^{i}|x_{k-1}^{i})}{q(x_{k}^{i}|x_{k-1}^{i},z_{k})}$$
(3)

标准粒子滤波算法的重要性密度函数选择为最 容易实现的先验概率密度

$$q(x_k^i|x_{k-1}^i,z_k) = p(x_k^i|x_{k-1}^i)$$
 (4)

则重要性权值递推公式约简为

$$w_k^i = w_{k-1}^i p(z_k | x_k^i) \tag{5}$$

由归一化权值加权求和得状态的最优估计值

$$\hat{x}_k = \sum_{i=1}^N \widetilde{w}_k^i x_k^i \tag{6}$$

2 改进粒子滤波算法

高斯粒子滤波是标准粒子滤波的 1 种实现方法,通过高斯密度函数来逼近状态后验概率分布^[5],基本思想是利用反映粒子平均数值水平的数学期望和反映粒子离散程度的协方差进行递推来简化粒子集的更新过程。本节在高斯粒子滤波实现方法的基础上,提出 1 种改进的粒子滤波算法。该方法结合发动机健康参数估计的特点,引入伪协方差的代替协方差,以期望减少突变故障诊断步数;另外通过对似然分布自适应调整,以期望降低诊断结果噪声水平。

2.1 伪协方差

在发动机故障诊断中,在无突变故障发生的情况下,粒子加权均值 $\hat{x}_k = \sum_{i=1}^N \widetilde{w}_k^{\ i} x^i_k$ 基本稳定,可以近似认为 $\hat{x}_k \approx \hat{x}_{k-1}$ 。粒子集的协方差 \sum_k 为

$$\sum_{k=1}^{N} \widetilde{w}_{k}^{i} (\hat{x}_{k} - x_{k}^{i}) (\hat{x}_{k} - x_{k}^{i})^{T}$$
 (7)

定义粒子集伪协方差 $\widetilde{\Sigma}_k$ 的概念

$$\widetilde{\sum}_{k} = \sum_{i=1}^{N} \widetilde{w}_{k}^{i} (\hat{x}_{k-1} - x_{k}^{i}) (\hat{x}_{k-1} - x_{k}^{i})^{T}$$
(8)

 为无突变故障情形。因此 $N(x_k | x_k, \widetilde{\Sigma}_k)$ 中抽样获得的粒子与真实情形更为吻合,可以更快地估计出突变故障。

2.2 自适应似然分布

在似然分布位于转移先验分布尾部或者观测模型具有很高精度时¹¹⁶,很多样本由于归一化权重很小而成为无效样本,过低的抽样率会导致粒子滤波失败,增大粒子数是其解决方法之一,但随之而来的巨大计算量使该方法在工程应用中无法实现。

发动机故障诊断需要估计多个健康参数,高维度 必然导致似然分布处于转移先验尾部,如图 1 所示。 从图中可见,很少的粒子位于 B 处,绝大部分粒子位 于 A 处成为无效粒子。同时受实时性限制,粒子总数 少,所以滤波器有效粒子数低,诊断结果的噪声水平 高。针对该问题,本节通过对似然分布进行自适应调 整以提高抽样率,使之尾部更为平坦,增加先验和似

然的重叠区,降低诊断结 果的噪声水平。改变似然 函数的分布就是改变粒子 权值的分布,所以只需对 标准粒子滤波算法的权值 更新作自适应改进。

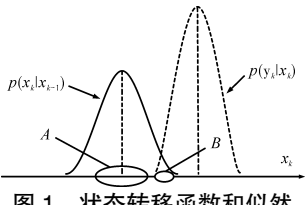


图 1 状态转移函数和似然 函数的关系

各粒子权值更新 $w_k^i = p(z_k|x_k^i)$ 后,记录最大权值 $w_k^{i_{\text{mem}}}$ 、最小权值 $w_k^{i_{\text{mem}}}$,对应粒子的序号 i_{mem} 、及量 测残差

$$\Delta z_k^{i_{s-min}} = z_k - h(x_k^{i_{s-min}})$$

$$\Delta z_k^{i_{s-min}} = z_k - h(x_k^{i_{s-min}})$$
(9)

 $\Delta z_k^{i_{\text{min}}}$ 与 $\Delta z_k^{i_{\text{min}}}$ 之间的欧式距离为

$$L_{\text{max}} = (\Delta z_k^{i_{\text{s-min}}} - \Delta z_k^{i_{\text{s-max}}})^{\text{T}} (\Delta z_k^{i_{\text{s-min}}} - \Delta z_k^{i_{\text{s-max}}})$$
 (10)

每个粒子残差为 $\Delta z_k = z_k - h(x_k)$, 其与最大权值粒子残差的欧式距离为

$$L_i = (\Delta z_k^i - \Delta z_k^i)^{\mathrm{T}} (\Delta z_k^i - \Delta z_k^i)$$
 (11)

权值改进公式为

$$\widetilde{w}_{k}^{i} = (w_{k}^{i})^{\kappa} + (w_{k}^{i_{\text{means}}})^{\kappa} \sin(\pi L_{i}/2L_{\text{max}})\beta / N$$
 (12)

式中: β 为比例因子,根据权值离散水平进行调整; κ 为挤压因子。根据权值数值水平进行调整,取 $\beta \in (0.6,1.5), \kappa \in (0.3,0.9)$ 。

2.3 改进算法实现

将先验密度函数作为重要性密度函数,即

 $q(x_k^i|x_{k-1}^i,z_k) = p(x_k^i|x_{k-1}^i)$,改进粒子滤波器实现步骤如下:

(1)从
$$N(x_{k-1}^{i}|\hat{x}_{k-1}, \widetilde{\sum}_{k-1})$$
中抽样获得 $\{x_{k-1}^{i}\}_{i=1}^{N};$

- (2)从重要密度函数 $q(x_k^i|x_{k-1}^i,z_k)$ 采样得到以 $\{x_k^i\}_{i=1}^N$ 表示的粒子;
 - (3)计算各粒子的权值

$$w_k^i = p(z_k | x_k^i) \tag{13}$$

- (4)根据权值改进公式(12)对权值进行改进得到 \hat{w}_{k}^{i} ;
 - (5)将各粒子的权值归一化

$$\widetilde{w}_{k}^{i} = \frac{\widehat{w}_{k}^{i}}{\sum_{i=1}^{N} \widehat{w}_{k}^{i}}$$
 (14)

(6)求状态估计值 \hat{x}_k 和粒子集伪协方差 \sum_k

$$\hat{x}_k = \sum_{i=1}^N \widetilde{w}_k^i \ x_k^i \tag{15}$$

$$\widetilde{\Sigma}_{k} = \sum_{i=1}^{N} \widetilde{w}_{k}^{i} (\hat{x}_{k-1} - x_{k}^{i}) (\hat{x}_{k-1} - x_{k}^{i})^{\mathrm{T}}$$
(16)

3 发动机气路故障的粒子滤波诊断

为了表示故障发生后部件性能的变化程度,引入旋转部件的效率变化系数 $\Delta S_{\mathbb{N}}$ 和流量变化系数 $\Delta S_{\mathbb{N}}^{[17]}$

$$\Delta S_{Ei} = \frac{\eta_i}{\eta_i^*} - 1, \Delta S_{Wi} = \frac{W_i}{W_i^*} - 1$$
 (17)

式中: η_i 、 W_i 为部件的实际效率和流量; η_i^* 、 W_i^* 为部件效率和流量的理想值。

健康参数选为风扇、压气机、高压涡轮和低压涡 轮的效率和流量的变化系数^[18],共8个,定义为

$$\Delta h = [\Delta S_{\text{El}}, \Delta S_{\text{Wl}}, \Delta S_{\text{E2}}, \Delta S_{\text{W2}}, \Delta S_{\text{E3}}, \Delta S_{\text{W3}}, \Delta S_{\text{E4}}, \Delta S_{\text{W4}}]^{\text{T}}$$

$$(18)$$

将其增广到发动机状态中,则

$$x = [N_{\rm L}, N_{\rm H}, \Delta S_{\rm E1}, \Delta S_{\rm W1}, \Delta S_{\rm E2}, \Delta S_{\rm W2}, \Delta S_{\rm E3}, \Delta S_{\rm W3}, \Delta S_{\rm E4}, \Delta S_{\rm W4}]^{\rm T}$$
(19)

式中: N_L 、 N_H 分别为低、高压转子转速; ΔS_{E1} 、 ΔS_{E2} 、 ΔS_{E3} 、 ΔS_{E3} 、 ΔS_{E4} 分别为风扇、压气机、高压涡轮、低压涡轮效率变化系数; ΔS_{W1} 、 ΔS_{W2} 、 ΔS_{W3} 、 ΔS_{W4} 分别为风扇、压气机、高压涡轮、低压涡轮流量变化系数;上标 T 表示将行向量转换为列向量的变换,涉及的控制量有: W_{b} 为燃油量, A_{8} 为尾喷管面积。

基于非线性模型的气路部件故障诊断原理如图 2 所示。通过发动机的输出值与模型预测值之间的残 差结合粒子滤波算法对气路部件健康参数进行估计。 发动机传感器参数选取见表 1,相应传感器的噪声水 平根据文献[12,17]确定。

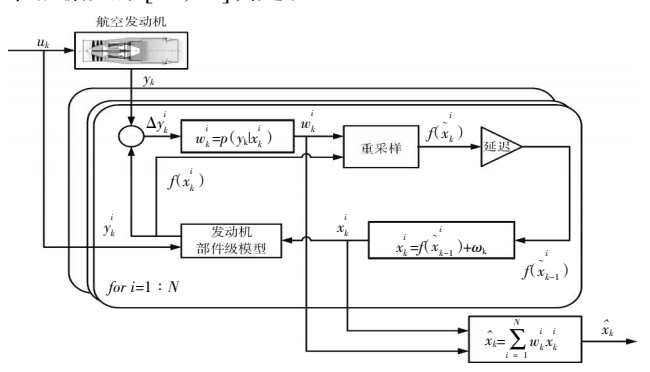


图 2 基于粒子滤波的故障诊断原理

表 1 传感器选取及其测量噪声

传感器参数	标准差/%	传感器参数	标准差 /%
低压转子转速 N _L	0.25	压气机出口温度 T ₃	0.30
高压转子转速 $N_{\rm H}$	0.25	压气机出口压力 P ₃	0.30
风扇出口温度 T2	0.30	高压涡轮出口温度 T45	0.50
风扇出口压力 P2	0.30	高压涡轮出口压力 P45	0.75

4 仿真与分析

高斯分布为统计学中常用的理想噪声模型,然而现实应用中噪声通常都是比较复杂的,为了模拟发动机运行时的复杂噪声,本文选取由伽马噪声以及高斯噪声简单混合组成的双模噪声,对发动机健康参数突变故障进行估计,以验证粒子滤波在非高斯噪声下状态参数估计的准确性。为了比较的公平性,标准粒子滤波算法以及改进粒子滤波算法的粒子数均设为50。另外,设 $\nu_{k1}^{m} \sim N(\mu_{m},\sigma_{m}^{2}), \nu_{k2}^{m} \sim \Gamma(\mu_{m},\lambda_{m}^{-1}),$ 观测噪声 $\nu_{k}^{m} = \nu_{k2}^{m} + \nu_{k2}^{m}$,其中 $m \in \{1,2,\cdots,8\}$ 表示对应传感器, ν_{k1}^{m} 和 ν_{k2}^{m} 相互独立。根据表 1 中传感器测量噪声标准差取 R_{m} 值,令 $r_{m}=1$, $\mu_{m}=-\sqrt{R_{m}}$, $\sigma_{m}=\sqrt{R_{m}/2}$, $\lambda_{m}^{-1}=\sqrt{R_{m}/2}$,则 $E(\nu_{k}^{m})=0$, $D(\nu_{k}^{m})=R_{m}$ 。过程噪声参考文献[12]选取为对角阵 $Q=0.0015^{2} \times I_{10\times 100}$

在地面标准状况的最大工作状态下,分别用标准 粒子滤波器和改进粒子滤波器对发动机气路部件的 单部件故障模式和多部件故障模式进行仿真估计。参 考 NASA 在 MAPSS 仿真平台中涡扇发动机完成一定 工作循环数量后气路部件性能参数变化情况的统计 数据^[19],选择单部件故障模式:风扇效率变化系数突 变 -0.04; 多部件故障模式: 风扇效率变化系数突变 -0.04, 压气机流量变化系数突变 -0.02。仿真时间为 $10 \, \mathrm{s}$, 突变故障发生时刻均设定为第 $2 \, \mathrm{s}$, 采样步长为 $20 \, \mathrm{ms}$ 。综合估计精度用全部仿真时间 $10 \, \mathrm{s}$ 内的均方根误差 R_{MEE} 来衡量, 其表达式为

$$R_{\text{MSE}} = \sum_{i=1}^{8} \sqrt{\frac{1}{501}} \sum_{k=1}^{501} (x_{jk} - \hat{x}_{jk})^{2}$$
 (20)

式中:定义诊断步数为从故障突变到健康参数稳定在故障值 \pm 0.01 范围内的仿真步数差,用来反映诊断速度; Δh 为诊断结果稳定后的平均值, σ_h 为诊断结果的标准差。

在单故障模式下,标准粒子滤波和改进粒子滤波的 20 次运行平均性能见表 2,故障诊断值及其标准差见表 3 并如图 3 所示。在多故障模式下,标准粒子滤波和改进粒子滤波的 20 次运行平均性能见表 4,故障诊断值及其标准差见表 5 并如图 4 所示。

表 2 单故障模式下滤波性能对比

	均方根误差 R _{MSE}	诊断步数
标准粒子滤波	0.0427	4.85
改进粒子滤波	0.0264	3.50

表 3 单故障模式下估计值及标准差

参数	标准粒子滤波 /%		改进粒子滤波 /%	
	Δh	$\sigma_{\scriptscriptstyle m h}$	Δh	$\sigma_{ ext{h}}$
$\Delta S_{ ext{El}}$	-3.98	0.43	-4.00	0.34
$\Delta S_{ m W1}$	0.05	0.38	0.02	0.29
$\Delta S_{ ext{E2}}$	-0.01	0.53	0.06	0.40
$\Delta S_{ ext{W2}}$	0.01	0.55	-0.05	0.34
ΔS_{E3}	0.03	0.81	0.09	0.44
$\Delta S_{ m W3}$	0.11	0.42	0.01	0.23
$\Delta S_{ ext{E4}}$	-0.01	0.44	-0.00	0.21
$\Delta S_{ m W4}$	0.11	0.41	0.02	0.22
均值		0.50		0.31

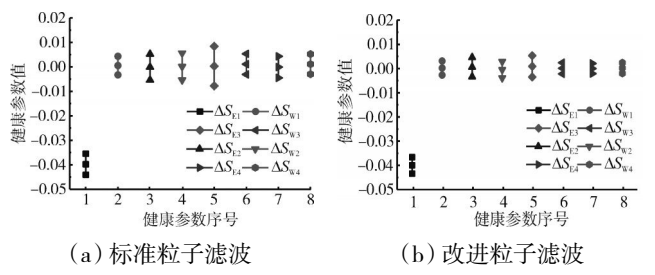


图 3 单故障模式诊断结果

表 4 多故障模式下滤波性能对比

	均方根误差 R _{MSE}	诊断步数
标准粒子滤波	0.0429	6.2
改进粒子滤波	0.0271	4.6

表 5	多故障模式	下估计值及标准差	%

参数 -	标准粒子滤波		改进粒子滤波	
	Δh	$\sigma_{ m h}$	Δh	$\sigma_{ ext{h}}$
$\Delta S_{ ext{El}}$	-3.97	0.46	-4.01	0.35
$\Delta S_{ m W1}$	-0.07	0.38	-0.04	0.29
ΔS_{E2}	-0.02	0.53	0.05	0.40
$\Delta S_{ m W2}$	-1.93	0.57	-1.92	0.34
$\Delta S_{ ext{E3}}$	-0.06	0.82	-0.10	0.46
$\Delta S_{ m W3}$	-0.03	0.43	-0.04	0.24
$\Delta S_{ ext{E4}}$	-0.04	0.44	-0.01	0.20
$\Delta S_{ m W4}$	-0.02	0.42	-0.01	0.22
均值		0.51		0.31

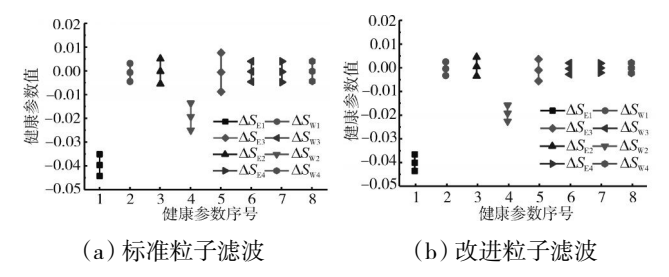


图 4 多故障模式诊断结果

在表 $3\sqrt{5}$ 中 Δh 和 σ_h 均为 20 次运行的均值,而 σ_h 的均值为 8 个健康参数的标准差的均值,综合体 现诊断结果噪声水平。图 $3\sqrt{4}$ 中每个健康参数对应的 3 个点分别为 $\Delta h - \sigma_h$, Δh , $\Delta h + \sigma_h$, 图中线段长度反映 该健康参数估计值的噪声水平。

由于改进粒子滤波采用更能反映突变情况的伪协方差代替协方差阵,抽样得到的粒子能够更快地逼近真实值,从表 2、4 中可见,突变故障诊断步数明显减少,2 种故障模式下诊断步数均减少约 27%;另外由于采用自适应的似然分布函数,提高了先验分布和似然分布的重叠区域,增加了有效粒子数,从表 3、5 中可见,诊断结果噪声水平显著下降,在 2 种故障模式下,估计结果的平均标准差均降低约 39%。从图 3、4 中可见,改进粒子滤波器的 8 个维度的健康参数诊断结果噪声水平均明显下降,估计值更接近真实值。由于改进粒子滤波在故障诊断速度和诊断结果噪声水平这 2 个方面的改善,综合估计误差明显减小,从表 2、4 中可见,2 种故障模式下 R_{MSE} 均减小约38%。

5 结论

标准粒子滤波算法在发动机故障诊断领域有着 广泛应用,但该算法存在着突变故障诊断步数多以及 诊断结果噪声水平高的问题,本文提出使用伪协方差 和自适应似然分布结合的1种改进粒子滤波方法。在 发动机故障诊断中的仿真验证表明,相比于标准粒子滤波算法,改进方法能在相同粒子数的前提下,显著减小诊断的均方根误差,并且减少突变故障的诊断步数。综合考虑单故障模式和多故障模式,改进算法能使诊断速度提高约 27%,诊断精度提高约 38%。优越的性能表明,该改进粒子滤波方法可以进一步推广应用于发动机故障诊断系统中。

参考文献:

- Urban A L. Ga's path analysis applied to turbine engine condition monitoring [J]. Journal of Engineering for Power, 1972, 10 (2): 400-406.
- [2] Jaiwon S. The NASA aviation safety program: overview [R].NASA-TM-2000-209810.
- [3] Link C. Recent advancements in aircraft engine health management (EHM) technologies and recommendations for the next step[R]. ASME 2005–GT-68625.
- [4] Kobayashi T, Simon D L. Application of a bank of kalman filters for aircraft engine fault diagnostics[R]. NASA-TM-2003-212526.
- [5] Dorel D L. Interpretation of weight-least-squares gas path analysis results[J]. Journal of Engineering for Gas Turbines Power, 2005, 125(3): 624-633.
- [6] Kalman R E. A new approach to linear filtering and prediction problems[J]. Journal of Basic Engineering, 1960,82(Series D):35-45.
- [7] 王修岩,李萃芳,高铭阳,等. 基于 SVM 和 SNN 的航空发动机气路 故障诊断[J]. 航空动力学报, 2014,29(10):2493-2498. WANG Xiuyan, LI Cuifang, GAO Mingyang, et al. Fault diagnosis of aeroengine gas path based on SVM and SNN [J]. Journal of Aerospace Power, 2014,29(10):2493-2498.(in Chinese)
- [8] LU Feng, HUANG Jinquan, QIU Xiaojie. Application of multioutputs LSSVR by PSO to the aeroengine model [J]. Journal of Systems Engineering and Electronics, 2009, 20(5):1153-1158.
- [9] Simon D. A comparison of filtering approaches for aircraft engine health estimation [J]. Aerospace Science and Technology, 2008, 12: 276–284.
- [10] Borguet S, Leonard O. Comparison of adaptive filters for gas turbine performance monitoring [J]. Journal of Computational and Applied Mathematics, 2010, 234(7):2202–2212.
- [11] 黄金泉,陈煜,周浩文,等.基于 QPSO 粒子滤波的航空发动机突变故障诊断[J].南京航空航天大学学报, 2014,46(4):494-500. HUANG Jinquan,CHEN Yu,ZHOU Haowen,et al. QPSO particle filter based abrupt fault diagnostics for gas turbine engine [J]. Journal of Nanjing University of Aeronautics & Astronautics, 2014,46(4):494-500.(in Chinese)
- [12] LU Feng, HUANG Jinquan, LYU Yiqiu. Gas path health monitoring for a turbofan engine based on a nonlinear filtering approach [J]. Engines, 2013, 6(1):492–513.

- [13] Ozkan E, Smidl V, Saha S, et al. Marginalized adaptive particle filtering for nonlinear models with unknown time-varying noise parameters [J]. Automatica, 2013, 49(6), 1566-1575.
- [14] 王法胜,鲁明羽,赵清杰,等.粒子滤波算法[J].计算机学报,2014,37 (8):1679-1694.
 - WANG Fasheng, LU Mingyu, ZHAO Qingjie, et al. Particle filtering algorithm[J]. Chinese Journal of Computers, 2014, 37(8):1679–1694. (in Chinese)
- [15] 刘炜,张冰.非高斯环境下基于 GPF 算法的目标跟踪[J].火力与指挥控制,2008,33(2):69-72.
 - LIU Wei, ZHANG Bing. GPF-based target tracking in non-gaussian environment. 2008, 33(2):69-72.(in Chinese)
- [16] 朱志宇. 粒子滤波算法及其应用 [M]. 北京: 科学出版社,2010: 19-27.

- ZHU Zhiyu. Particle filter algorithm and its application [M]. Beijing: Science Press, 2010; 19–27.(in Chinese)
- [17] Simon D L, Garg S. Optimal tuner selection for kalman filterbased airciaft engine performance estimation[R]. NASA-TM-2010-216076.
- [18] 崔文斌, 叶志峰, 彭利方.基于信息融合遗传算法的航空发动机气路故障诊断[J]. 航空动力学报, 2015, 30(5), 1275–1280.

 CUI Wenbin, YE Zhifeng, PENG Lifang. Aero-engine gas path fault diagnosis based on genetic algorithm of information fusion [J]. Journal of Aerospace Power, 2015, 30(5):1275–1280. (in Chinese)
- [19] Jonathan A, Jonathan S, Dean K. A modular aeropropulsion system simulation of a large commercial aircraft engine [R]. NASA-TM-2008-215303.

(编辑:刘 静)